

## توسعه‌ی روش سهی‌گون تکه‌بی (PPM) چندماده‌بی با استفاده از روش بازسازی مرز VOF

حامد کرامتی (کارشناس ارشد)  
کیومرث مظاہری (دانشیار)  
دانشکده‌ی فن و هندسی، بخش هندسی مکانیک، دانشگاه نوبت مدرس

عدم توجه به وجود مرز بین مواد در میدان حل، حتی در استفاده از روش‌های حل عددی با دقت بالا، نظیر روش سهی‌گون تکه‌بی (PPM)<sup>۱</sup>، به اختلالاتی همچون ناپایداری و واگلیبی نتایج طی فرایند حل عددی یا نادرستی نتایج می‌انجامد. به منظور جلوگیری از بروز چنین مواردی، از روش‌های دنبال‌سازی مرز استفاده می‌شود. در روش‌های دنبال‌سازی مرز، موقعیت و شکل مرز بین دو ماده در هر بازه زمانی تعیین، و سپس خواص سلول‌های شامل این مرزا (سلول‌های مخلوط) با استفاده از روابطی خاص تحت عنوان «مدل مخلوط» محاسبه می‌شود. در بررسی حاضر برای حل عددی معادلات از روش گودونفی PPM استفاده شده و برای افزایش دقت این روش در برخورد با مسائل چندماده‌بی، از میان انواع روش‌های دنبال‌سازی مرزا، روش حجم مابع (VOF)<sup>۲</sup> انتخاب شده است. از میان مدل‌های مخلوط موجود نیز، مدل «هم‌فشار - هم‌افزایی» و مدل «کسر حجمی ثابت» انتخاب شده و به منظور یافتن مدل مناسب‌تر نتایج استفاده از آن دو با هم مقایسه شده است. نتایج عددی حاصل از استفاده از روش VOF در حل مسئله‌ی لوله شاک چندماده‌بی، بهبود قابل ملاحظه‌بی را در مقایسه با روش PPM نشان می‌دهد.

کارنامه: keramati\_mech@yahoo.com  
Kiumars@Modares.ac.ir

واژگان کلیدی: دنبال‌سازی مرزا، روش حجم سیال (VOF)، مدل مخلوط، روش سهی‌گون تکه‌بی (PPM).

### مقدمه

که به روش‌های «تسخیر مرزا<sup>۳</sup>» موسوم‌اند، حرکت مرزا درون یک شبکه‌ی محاسباتی ثابت بررسی می‌شود. در این روش‌ها انعطاف‌پذیری دنبال‌کردن مرزا در مقایسه با روش‌ها تعقیب مرزا بالاتر، و همچنین هزینه‌های محاسباتی آن در مقایسه با روش‌های تعقیب مرزا پایین‌تر است.<sup>[۱]</sup> از مهم‌ترین روش‌های تسخیر مرزا می‌توان به روش حجم مابع (VOF) و روش چشم‌نمای تراز<sup>۴</sup> اشاره کرد.<sup>[۲]</sup> در بررسی حاضر روش VOF برای مدل‌سازی رفتار مرزا بین دو ماده انتخاب شده است. در این روش که وسیع‌آ مورد استفاده‌ی محققین قرار گرفته است،<sup>[۱]</sup> مرزا بین دو فاز مختلف سیال با محاسبه‌ی حجم کسرهایی از سلول که توسط فازهای مختلف اشغال شده، بازسازی می‌شود. روش VOF ضمن برخورداری از مفاهیمی کاملاً ساده و قابل فهم، و نیز برخورداری از دقت بالا هزینه‌ی محاسباتی کمی دارد. از میان نتایج روش‌های تسخیر مرزا، فقط روش VOF ذاتاً قادر به حفظ جرم هریک از سیال‌های موجود در میدان است به طوری که در بسیاری از کاربردها می‌توان از کلیه‌ی معایب احتمالی این روش، در برابر مشخصه‌ی حفظ پاستاری جرم آن، چشم‌پوشی کرد.<sup>[۵]</sup> در این روش تعییرات توپولوژیکی مرزا سبب پیچیدگی الگوریتم نمی‌شود. همچنین باز محاسباتی مرزا نیاز برای این دسته از روش‌ها معمولاً کم‌تر از سایر روش‌های دنبال‌سازی مرزا است.<sup>[۶]</sup>

استفاده از روش VOF شامل دو مرحله‌ی اصلی است که در هر بازه

وجود سطح مشترک<sup>۳</sup> بین دو ماده در میدان حل، به معنای وجود ناپیوستگی در خواص جریان در داخل میدان است. وجود این مرزا را می‌توان در مدل‌سازی بسیاری از پدیده‌های فیزیکی -- همچون جریان‌های چندفاصلی، حرکت حباب در سیال جوشان، جریان مخازن سیال زیرزمینی، ریخته‌گری فلزات مذاب، حرکت شعله‌ها و امواج احتراقی، حرکت توده‌ی گاز در هوا و بسیاری از پدیده‌های دیگر -- مشاهده کرد. عدم توجه به وجود چنین ناپیوستگی در حل عددی، نهایتاً فرایند حل عددی را مختل می‌کند یا سبب نادرستی نتایج می‌شود. در بررسی حاضر نیز بر حذف این موارد، که هنگام استفاده از روش عددی سهی‌گون تکه‌بی (PPM) در حل مسائل دینامیک گاز چندماده‌بی به وجود می‌آید، تأکید شده است.

برای انجام این امر نیاز به سازوکاری است تا در روش‌های عددی، موقعیت و شکل مرزا را به خوبی مدل کند. روش‌های فراوانی برای این منظور ارائه شده که می‌توان آنها را به دو دسته‌ی عمده تقسیم کرد. در دسته‌ی اول که به روش‌های «تعقیب مرزا<sup>۴</sup>» موسوم‌اند، مرزا با یک شبکه‌ی محاسباتی منفصل می‌شود. به طور کلی، روش‌های تعقیب مرزا هزینه‌ی محاسباتی بالایی دارند. از مهم‌ترین روش‌های تعقیب مرزا می‌توان به روش تعقیب جبهه<sup>۵</sup> اشاره کرد.<sup>[۱]</sup> در دسته‌ی دوم روش‌ها

تاریخ: دریافت ۹/۷/۱۳۸۷، داوری ۱۳/۵/۱۳، پذیرش ۱۰/۱۲/۱۳۸۸.

## معادلات حاکم و روش گسسته‌سازی

معادلات حاکم در تحقیق حاضر معادلات اویلر است که به شکل لاغرانزی به کار می‌روند، چراکه در روش لاغرانزی مرز همواره در ارتباط با سلول‌های مشخصی است. این معادلات عبارت‌اند از معادلات پایستاری جرم (رابطه‌ی ۱)، گشتاور (رابطه‌ی ۲) و انرژی (رابطه‌ی ۳).

$$\frac{\partial \tau}{\partial t} - \frac{\partial u}{\partial m} = 0 \quad (1)$$

$$\frac{\partial u}{\partial t} + \frac{\partial p}{\partial m} = 0 \quad (2)$$

$$\frac{\partial E}{\partial t} + \frac{\partial}{\partial m}(pu) = 0 \quad (3)$$

در این روابط،  $\tau$  حجم ویژه،  $u$  سرعت،  $p$  فشار و  $E$  انرژی کل در واحد جرم است.  $t$  و  $m$  نیز به ترتیب بیان‌گر زمان و مختصات جرم هستند. روابط ۱ تا ۳ شکل یک بعدی معادلات اویلرند. در روش حل عددی معادلات در پژوهش حاضر، معادلات دو بعدی با استفاده از روش چندسازی ابعادی<sup>۱۲</sup> به دو معادله‌ی یک بعدی تجزیه، و از جواب‌های معادله‌ی اول به عنوان شرایط اولیه در معادله‌ی دوم استفاده می‌شود. این معادلات به همراه معادله‌ی حالت گاز ایده‌آل  $(pe - 1) = \gamma p$ ، که در آن  $e$  انرژی داخلی است، حل می‌شوند.

با انتگرال‌گیری از معادلات ۱ تا ۳ بر روی یک حجم کنترل که یک سلول از شبکه‌ی لاغرانزی (سلول نشان داده شده در شکل ۱) است، معادلات اویلر یک بعدی گسسته شده در سیستم مختصات لاغرانزی مانند رابطه‌های ۴ تا ۶ نوشته می‌شود.

$$\tau_i^{n+1} = \frac{1}{m_i} (x_{i+1/2}^{n+1} - x_{i-1/2}^{n+1}) \quad (4)$$

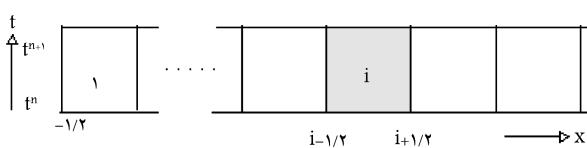
$$u_i^{n+1} = u_i^n + \frac{1}{\sqrt{m_i}} (A_{i+1/2}^* + A_{i-1/2}^*) \times \frac{\Delta t}{m_i} [p_{i-1/2}^* - p_{i+1/2}^*] \quad (5)$$

$$E_i^{n+1} = E_i^n + \frac{\Delta t}{m_i} \left[ \begin{array}{l} A_{i-1/2}^* u_{i-1/2}^* / 2 p_{i-1/2}^* \\ - A_{i+1/2}^* u_{i+1/2}^* / 2 p_{i+1/2}^* \end{array} \right] \quad (6)$$

که در آن‌ها:

$$\begin{cases} x_{i+1/2}^{n+1} = x_{i+1/2}^n + \Delta t \cdot u_{i+1/2}^* \\ A_{i+1/2}^* = \frac{(x_{i+1/2}^{n+1}) - (x_{i+1/2}^n)}{u_{i+1/2}^* \cdot \Delta t} \end{cases} \quad (7)$$

علامت ستاره نمایان‌گر مقدار پارامتر بر روی مرز حجم کنترل در بازه زمانی ( $t^n, t^{n+1}$ ) است. با توجه به معادلات ۴ تا ۷ مشاهده می‌شود که میانگین جرمی پارامترهای ( $\tau$ ,  $u$  و  $E$ ) در هر سلول، در لحظه‌ی زمانی  $t^{n+1}$  به متوسط جرمی آن پارامتر در لحظه‌ی زمانی  $t^n$  و سرعت و فشار روی مرزها ( $u^*$  و  $p^*$ ) بستگی دارد. با معلوم بودن میانگین پارامترها در لحظه‌ی زمانی  $t^n$ ، برای محاسبه‌ی  $u^*$  و  $p^*$  روش گودونف مرتبه‌ی سوم به کار رفته است که در سال ۱۹۸۴ میلادی ارائه شد و به نام PPM معروف است.<sup>۱۳</sup> هسته‌ی محاسباتی این روش مسئله‌ی ریمن



شکل ۱. طرح وارهی شبکه یک بعدی محاسباتی مورد استفاده در گسسته‌سازی.

زمانی تکرار می‌شود. در مرحله‌ی اول، با الگوریتمی تحت عنوان بازسازی مرز<sup>۸</sup> هندسه و شکل مرز بین مواد تخمین زده می‌شود. مرحله‌ی دوم نیز شامل حل معادله‌ی جابه‌جایی حجم است که به واسطه آن شار حجمی مبادله‌شده بین سلول‌ها، کسر حجمی جدید سلول‌ها و موقعیت جدید مرز بین دو سیال مشخص می‌شود.

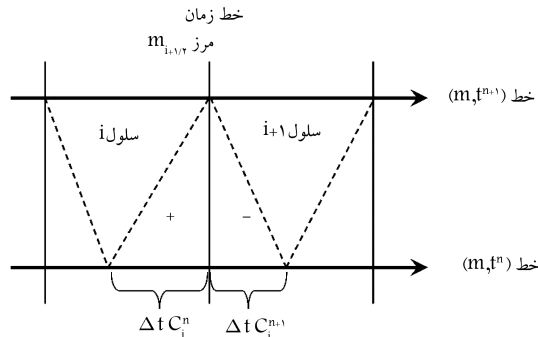
برای بازسازی هندسه‌ی مرز سه گروه روش اصلی شامل الگوریتم‌های تکه‌ی ثابت<sup>۹</sup>، تکه‌ی ثابت پله‌ی<sup>۱۰</sup> و تکه‌ی خطی<sup>۱۱</sup>، و نیز برای حل معادله‌ی جابه‌جایی حجم دو نوع الگوریتم شامل الگوریتم مجرأ و الگوریتم غیر مجرأ ارائه شده است. در یک بازه زمانی از دهه‌ی ۱۹۷۰ و اوایل دهه‌ی ۱۹۸۰، سه روش اول از روش‌های تعییب حجمی معرفی شدند: روش دیبار<sup>[۱]</sup>، روش SLIC<sup>[۷]</sup> و روش هرت و نیکولس.<sup>[۸]</sup>

با وجود دقیق‌تر بودن روش‌های تکه‌ی خطی، بررسی‌های انجام شده نشان می‌دهد که اغلب محققین مشکلات و هزینه‌های کمتر روش‌های تکه‌ی ثابت را بر دقت بالاتر روش‌های تکه‌ی خطی ترجیح داده‌اند.<sup>[۹]</sup> پس از روش‌های هرت و نیکولس و SLIC، چندین الگوریتم تعییب حجمی تکه‌ی ثابت اثبات انتشار یافته است. در سال ۱۹۸۰ الگوریتمی برای جابه‌جایی و انتشار شعله با استفاده از روش SLIC مورد استفاده قرار گرفت.<sup>[۱۰]</sup> در سال‌های ۱۹۸۲ و ۱۹۸۴، با استفاده از الگوریتم SLIC روش احتراق آشفته مدل‌سازی شد.<sup>[۱۱]</sup> همچنین در سال‌های ۱۹۸۹ و ۱۹۹۱ با استفاده از این الگوریتم، تأثیر سطح تماش گازی بر امواج ضربه شبیه‌سازی شد.<sup>[۱۲]</sup> به طور کلی، روش‌های تکه‌ی ثابت، ضمن تکامل همچنان فرضیات ساده‌ی هندسه خود را حفظ کرده‌اند. بنابراین، به منظور بازسازی مرز در روش VOF، برای مطالعه‌ی حاضر الگوریتم SLIC<sup>[۷]</sup> انتخاب شده است. در مطالعه‌ی حاضر با هدف تحلیل یک میدان شامل دو توده گازی، معادلات حاکم با روش عددی PPM حل می‌شوند. بررسی ساختار روش PPM نشان می‌دهد چنانچه در داخل میدان حل نهایی یک ماده وجود داشته باشد، الگوریتم ابتدایی این روش بدون هیچ مشکلی تاثیج مورد نظر را در اختیار قرار می‌دهد.

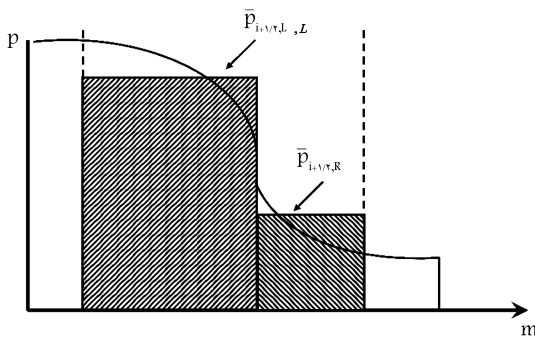
مشکل استفاده از این روش هنگامی پیش می‌آید که فرض یکسان بودن جنس در توده، مورد استفاده قرار نمی‌گیرد. بنابراین، طی تحلیل میدان همواره مرزی بین این دو ناحیه وجود دارد و همواره برخی از سلول‌های شبکه‌ی محاسباتی وجود دارند که حاوی قسمتی از این مرز هستند. این سلول‌ها تحت عنوان سلول مخلوط نامیده می‌شوند.

هدف از تحقیق حاضر این است که با به کارگیری روش VOF و اتصال آن به روش PPM، موقعیت و شکل مرز بین دو ماده در مسائل چندماده‌ی تعیین، و سپس با استفاده از یک مدل مخلوط خواص سلول‌های مخلوط مشخص شود. نوآوری ارائه شده در این نوشتار تلفیق یک روش تعییب مرز و یک مدل مخلوط با الگوریتم PPM است. با این منظور، در این نوشتار چگونگی پیاده‌سازی روش VOF، به کارگیری مدل مخلوط و اتصال این دو به روش PPM بیان شده است.

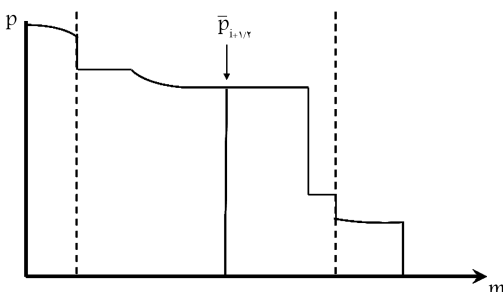
در ادامه، ابتدا معادلات حاکم و روش عددی PPM بیان می‌شود و سپس چگونگی تعییب موقعیت مرز و بازسازی شکل آن با استفاده از روش VOF-SLIC توضیح داده می‌شود. با انجام این امر و با استفاده از دو مدل مخلوط «هم فشار - هم انرژی» و «کسر حجمی ثابت»، چگونگی محاسبه‌ی خواص سلول‌های مخلوط بیان می‌شود. در انتها نیز با حل مسئله‌ی انتقال و مسئله‌ی لوله‌ی شوک چندماده‌ی، اعتبار روش VOF و دو مدل مخلوط در کنار روش PPM ارزیابی می‌شود.



الف) محدوده‌ی اطراف مرز سلول که مسئله‌ی رین باشد در آن حل شود توسط مسیر امواج صوتی(خطوط مشخصه) تعیین می‌شود؛



ب) میانگین‌گیری از خواص در محدوده‌ی اطراف سلول جهت تعریف و حل مسئله‌ی رین؛



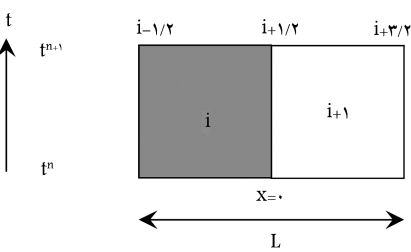
ج) حل مسئله‌ی رین و محاسبه متوسط زمانی خواص در مرز سلول که در محاسبه‌ی فلاکس پارامترهای پایستاری استفاده می‌شود.

شکل ۳. مراحل مربوط به محاسبه فلاکس پارامترهای پایستاری در مسئله‌ی رین.

می‌گیرد. با انجام این محاسبات، شبکه‌ی اولیه بدون هیچ تغییر شکلی دارای مقادیر جدید متغیرهای پایستاری می‌شود. فشار هر سلول نیز با استفاده از معادله‌ی حالت محاسبه می‌شود.

## بازسازی مرز در روش VOF

در بررسی حاضر، برای بازسازی هندسه‌ی مرز بین دو سیال از الگوریتم SLIC [٦] استفاده شده است. در روش SLIC مرز در هر سلول مخلوط، به صورت خط (یا خطوطی) موازی با یکی از راستهای سلول بازسازی می‌شود. الگوریتم SLIC روشی یک بعدی است که از اطلاعات کسرهای حجمی مواد در یک بلوك سه سلولی، برای بازسازی مرز در سلول وسطی این بلوك استفاده می‌کند. به عبارتی،



شکل ۲. طرح وارهی از مسئله‌ی رین که در آن دیافراگم در  $x=0$  قرار دارد. سیال‌های سمت چپ و راست دیافراگم به ترتیب در سلول‌های  $i$  و  $i+1$  قرار دارند.

(مسئله‌ی لوله‌ی شوک) است؛ این مسئله‌ی یک مسئله‌ی قدیمی در دینامیک گاز است و از دیدگاه محاسباتی در زمرة مسائل «مقدار اولیه» محاسبه می‌شود. در شکل ۲ طرح وارهی از صورت مسئله‌ی رین نمایش داده شده است که یک کاتال به طول  $L$  و یک دیافراگم قابل حرکت در نقطه‌ی  $x=0$  را شامل می‌شود؛ خواص سیال در دو طرف دیافراگم متفاوت است، به طوری که:

$$U(x, \tau) = \begin{cases} U_L, & x < 0 \\ U_R, & x > 0 \end{cases} \quad (8)$$

در این رابطه  $U$  هریک از خواص سیال است. سیال‌های طرفین دیافراگم ممکن است جنس‌های متفاوتی داشته باشند. در روش‌های گودونفی که روش PPM نیز جزو آنهاست، دو سلول مجاور در شبکه نقش فضاهای طرفین دیافراگم را بازی می‌کنند و مرز سلول‌ها نمایانگر دیافراگم است. در روش‌های گودونف محاسبه متوسط زمانی سرعت دیافراگم ( $u^*$ ) و فشار دیافراگم ( $p^*$ ) در فاصله‌ی زمانی  $\Delta t$  هستند. پس از محاسبه‌ی  $u^*$  و  $p^*$  با استفاده از روابط ۴ تا ۷ می‌توان خواص را پس از گذشت زمان  $\Delta t$  در لحظه‌ی زمانی  $t^{n+1}$  به دست آورد. به طور کلی در روش‌های گودونف برای محاسبه‌ی  $U_j^{n+1}$  چهار مرحله‌ی محاسباتی انجام می‌شود:

۱. میان‌یابی پارامترهای وابسته ( $\tau, u, p$ ) در مختصات جرم و در لحظه‌ی زمانی  $t^n$ .

## ۲. تعیین شرایط اولیه‌ی مسئله‌ی رین؛

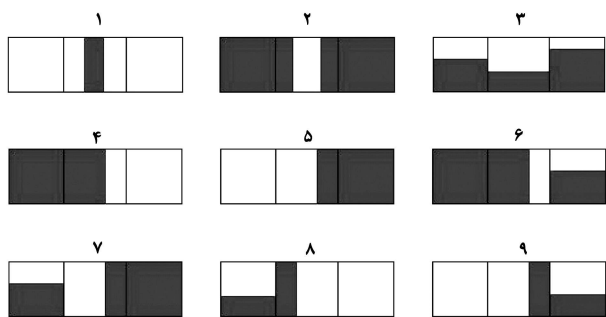
۳. حل مسئله‌ی رین در سلول‌های هم‌جوار؛

۴. محاسبه‌ی پارامترهای پایستاری سلول‌ها در لحظه‌ی زمانی جدید.

مراحل حل مسئله‌ی رین در شکل ۳ نمایش داده شده است. در بررسی حاضر، کام زمانی از شرط پایداری CFL تعیین می‌شود.

$$\frac{\Delta x}{C(\Delta t)} = CFL \leq 1 \quad (9)$$

$\Delta x$  پهنای کوچک‌ترین سلول و  $C$  سرعت صوت در این سلول است. پس از هر مرحله از حل لاگرانژی، شبکه‌ی محاسباتی موجود چهار تغییر شکل می‌شود که این تغییر شکل پس از گذشت چند بازه زمانی می‌تواند سبب کاهش دقت یا حتی نادرستی متغیرهای حاصل از حل لاگرانژی شود. برای غلبه بر این مشکل، روش لاگرانژی با یک الگوریتم تحت عنوان الگوریتم «انتقال» ترکیب می‌شود. با استفاده از مرحله‌ی «انتقال»، ضمن این که توزیع جرم در کل میدان ثابت نگه داشته می‌شود، مرزهای سلول‌های لاگرانژی به محل اولیه‌ی خود در شروع حل لاگرانژی برگردانده شده و توزیع خواص از شبکه‌ی تغییر شکل داده شده به شبکه‌ی اولیه منتقل می‌شود. این عمل با توجه به میزان تغییر مکان مرزهای شبکه نسبت به حالت اولیه انجام



شکل ۴. نه حالت ممکن برای بازسازی هندسه مرز در جهت x، در روش SLIC<sup>[۷]</sup>.

(F) در رابطه‌ی ۱۱ تخمین زده می‌شود. این روش‌ها به رغم سادگی و فرمول پذیری، می‌توانند خطای قابل توجهی را در حل مسئله وارد کنند. در روش دهنده - گیرنده<sup>[۱۲]</sup>، که از این تقریب استفاده می‌کند،<sup>[۸]</sup> با در نظر گرفتن این که در سلول‌ها، یا سیال وجود دارد یا فضای خالی، یا هردو، شار حجمی سیال که از مرز یک سلول به سلول پایین دست عبور می‌کند مطابق رابطه‌ی ۱۲ محاسبه می‌شود:

$$F = \delta y \{ \text{MIN} [A, \langle B + \text{MAX} (0, (C - D)) \rangle] \} \quad (12)$$

که در آن، A: بیشترین مقدار سیال موجود در سلول مورد نظر؛ B: شار تخمینی سیال به سلول پایین دست؛ C: شار تخمینی حجم فضای خالی به سلول پایین دست؛ D: بیشترین حجم فضای خالی موجود در سلول مورد نظر.

علاوه بر روش تقریب عبارت شار حجمی، از روش دیگری می‌توان استفاده کرد که در آن تبادل شار حجمی بین سلول‌ها به صورت دقیق و هندسی محاسبه می‌شود. در روش‌هایی که از مقاهم هندسی برهم‌نهی شبکه‌های محاسباتی بهره‌مند (نظری بازگرداندن مرزهای جایه‌جا شده لاغرانژی به محل اولیه خود)، در بررسی حاضر، استفاده از چنین الگوریتمی مناسب خواهد بود؛ زیرا با استفاده از مقاهم هندسی می‌توان تمامی حالات ممکن عبور شار حجمی از مرزهای یک سلول را بررسی، و شار را به طور دقیق محاسبه کرد. این روش‌ها به رغم دقت بالا، به دلیل عملیات هندسی نیازمند توان محاسباتی بالاتری هستند.

روشن مورد استفاده در بررسی حاضر، مبتنی بر روشی است که داکوینز و پاوم‌گاردنز<sup>[۹]</sup> بیان کرده‌اند.<sup>[۱۵]</sup> از آنجا که در بررسی حاضر از روش جداسازی ابعادی استفاده شده است، مسئله‌ی یافتن شار هندسی به یک مسئله‌ی یک بعدی کاهش خواهد یافت. همچنین به دلیل استفاده از شکل‌های بازسازی مرز<sup>[۹]</sup> (حالت)، تعداد حالات شارش محدود است. لذا استفاده از روش هندسی برهم‌نهی شبکه‌ها موجب بار محاسباتی قابل توجهی نخواهد بود.

در بررسی حاضر، در پایان حل لاغرانژی و در ضمن مرحله‌ی «انتقال»، موقعیت وجه مشترک لاغرانژی هر سلول با سلول همسایه‌اش مورد بررسی قرار می‌گیرد. هدف از این بررسی مشخص کردن سلول گیرنده سیال و سلول دهنده سیال، طی بازگرداندن مرزهای لاغرانژی سلول‌ها به محل اولیه‌شان است.

در شکل ۵ الف یک حالت از توزیع سیال در سلول I (سلول وسطی) و سلول همسایه‌ی آن نشان داده شده است. فرض می‌شود سلول سمت چپ پن و سلول I مخلوط باشد. کسر حجمی سلول I<sub>f</sub>، و درنتیجه حجم سیال موجود در این سلول، VOF(I)، معلوم‌اند.

$$\text{VOF}(I) = f(I) \times \Delta x(I)_{\text{Lag}} \times \Delta y(I)_{\text{Lag}} \quad (13)$$

فرض می‌شود پس از انجام مرحله‌ی لاغرانژی، وجه مشترک لاغرانژی بین سلول I و سلول سمت چپ آن، به سمت سلول I جایه‌جا شود (شکل ۵ ب، خطوط متند نشان‌گر مرزهای اولیه و خطوط نقطه‌چین همان‌گر مرزهای جایه‌جا شده لاغرانژی شبکه‌اند). در این مرحله، حجم ورودی به این سلول از سلول سمت چپ محاسبه می‌شود. با اجرای مرحله‌ی «انتقال»، مرزهای لاغرانژی شبکه (خطوط نقطه‌چین) به محل اولیه خود (خطوط متند) بازگردانده می‌شوند اما توزیع سیال موجود، ثابت باقی می‌ماند و جایه‌جا نمی‌شود (مقایسه‌ی شکل ۵ ج با ۵ ب). با توجه به این مفهوم، محاسبه‌ی حجم ورودی به سلول I و کسر حجمی جدید آن، به سادگی و با کمک موقعیت مرزهای جایه‌جا شده و اولیه‌ی شبکه انجام می‌گیرد.

$$\Delta V(I) = (x(I)_{\text{left,Lag}} - x(I)_{\text{left,Eul}}) \times \Delta y(I) \quad (14)$$

برای بازسازی هندسه‌ی مرز در یک سلول مخلوط، در جهت x، از اطلاعات حجمی مواد در آن سلول و دو سلول همسایه‌ی آن در جهت افقی و برای بازسازی هندسه‌ی آن مرز در جهت y، از اطلاعات آن سلول و دو سلول همسایه‌ی آن در جهت عمودی استفاده می‌کند. در روش SLIC، با توجه به چگونگی توزیع مواد در این ردیف سه‌سلولی، در هریک از جهت‌های مختصات، نه حالت مختلف برای چگونگی واقع شدن مرز در سلول مرکزی این ردیف (سلول مخلوط مورد نظر) به وجود خواهد آمد.<sup>[۷]</sup> در شکل ۴ این نه حالت، برای بازسازی هندسه‌ی مرز بین دو سیال تیره و روشن، در جهت x، نشان داده شده است. بازسازی مرز در جهت y همانند حالت‌های نه کاهی شکل ۴، به صورت یک ردیف عمودی از سه سلول مورد بررسی قرار می‌گیرند.

## محاسبه‌ی شارهای حجمی و تعیین موقعیت مرز در روش VOF

بخش اصلی دیگر در بهکارگیری روش VOF این است که پس از بازسازی مرز در هر سلول مخلوط و با توجه به معلوم‌بودن شکل مرز در این سلول‌ها، تبادل شارهای حجمی بین سلول‌های هم‌جوار محاسبه شود. درنتیجه‌ی این عمل، میزان کسر حجمی ورودی به یک سلول یا خارج شده از آن معلوم می‌شود و بنا براین می‌توان کسر حجمی جدید سلول‌های شبکه‌ی محاسباتی و موقعیت مرز بین دو ماده را در بازه زمانی جدید تعیین کرد.

برای تعیین کسر حجمی جدید سلول‌ها، در برخی از روش‌ها از حل مستقیم معادله‌ی جایه‌جا بیان حجم استفاده می‌شود. معادله‌ی یک بعدی جایه‌جا بیان حجم و شکل گسسته‌ی آن به ترتیب به صورت روابط ۱۰ و ۱۱ هستند:

$$\frac{\partial f}{\partial t} + \frac{\partial}{\partial x} (u f) = 0 \quad (10)$$

$$f_i^{n+1} = f_i^n + (F_{i-1/2}^n - F_{i+1/2}^n) \quad (11)$$

که در آن f کسر حجمی یک سلول و u مؤلفه‌ی افقی سرعت است. در رابطه‌ی ۱۱ کسر حجمی جدید سلول نام، در مرحله‌ی زمانی n+1 با استفاده از کسر حجمی آن سلول در مرحله‌ی زمانی n مقدار شار حجمی که از مرزهای سلول در مرحله‌ی زمانی n عبور می‌کند، محاسبه می‌شود. و F<sub>i-1/2</sub><sup>n</sup> و F<sub>i+1/2</sub><sup>n</sup> به ترتیب عبارت‌اند از شار کسر حجمی که در مرحله‌ی زمانی n از استفاده از شکل گسسته‌ی آن (رابطه‌ی ۱۱)، معمولاً به گسترش غیرفیزیکی مرز در پهنه‌ای سلول‌های شبکه می‌انجامد. بنابراین، محققان از روش‌های دیگری استفاده می‌کنند که به سیله‌ی آن عبارت شار حجمی

فشار سلول مخلوط از دستگاه معادلات زیر استفاده می شود: [۱۶]

$$\begin{cases} C_1 e_1 + C_2 e_2 = e \\ C_1 \tau_1 + C_2 \tau_2 = \tau \\ P_1 = P_2 = P; Or; \left( \frac{(C_1 - 1)e_1}{\tau_1} = \frac{(C_2 - 1)e_2}{\tau_2} = \frac{(C_1 - 1)e}{\tau} \right) \\ (de + Pd\tau)_1 = (de + Pd\tau)_2 \end{cases}$$

(۱۷)

در این معادلات، اندیس ۱ و ۲ به ترتیب مربوط به سیال ۱ و ۲ موجود در سلول مخلوط است. همچنین، مقادیر  $C$ ,  $e$ ,  $\tau$  و  $P$  به ترتیب عبارت‌اند از کسر جرمی، انرژی داخلی، حجم ویژه و فشار، معادله‌ی اول و دوم از این دستگاه بیان می‌کنند که انرژی داخلی و حجم ویژه کل سلول مخلوط به ترتیب برابر است با ترکیب وزنی انرژی داخلی و حجم ویژه دو سیال درون سلول مخلوط. مفهوم معادله‌ی سوم از این دستگاه این است که فشار هریک از سیال‌های موجود در سلول مخلوط، با هم و با فشار کل سلول مخلوط برابر است. معادله‌ی چهارم از این دستگاه نیز بیان می‌کند که تغییرات آنتروپی، برای هریک از سیال‌های موجود در سلول مخلوط، باهم برابر است. [۱۷] با حل این دستگاه و معلوم شدن مقادیر  $\tau_1$ ,  $\tau_2$ ,  $e_1$  و  $e_2$ ، با استفاده از معادله‌ی سوم، مقدار فشار کل سلول مخلوط تعیین خواهد شد.

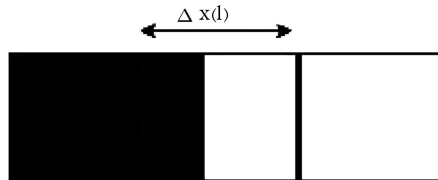
در مدل مخلوط «کسر حجمی ثابت لاگرانژی»، که در این نوشتار اختصاراً مدل مخلوط ۲ نامیده می‌شود، فرض می‌شود که طی حل لاگرانژی معادلات همه‌ی مواد موجود در یک سلول مخلوط، همراه با مرزهای سلول و با یک نسبت یکسان، متراکم یا منبسط می‌شوند. با توجه به این فرض، کسر حجمی سلول‌ها طی مرحله‌ی لاگرانژی تغییر نمی‌کند.<sup>[۱۸]</sup> این فرض برای بررسی حاضر که در میدان حل آن فقط سیال‌های گازی وجود دارند، فرض قابل قبولی است. چنین فرضی برای حالت‌های همچون مجاورت یک گاز و یک جامد قابل قبول نخواهد بود. در روش مذکور، کلیه‌ی خواص سلول‌ها با استفاده از روش عددی مورد نظر در حل معادلات حاکم محاسبه می‌شود و محاسبه‌ی فشار سلول‌ها با استفاده از معادله‌ی حالت گاز ایده‌آل انجام می‌گیرد. بنابراین، تعیین ضریب  $\gamma$  مربوط به معادله‌ی حالتی که بتواند فشار کل سلول مخلوط را محاسبه کند، ضرورت می‌یابد. برای انجام این امر،  $\gamma$  حاکم بر سلول مخلوط با استفاده از یک ترکیب وزنی  $\gamma$ ‌های مواد موجود در سلول مخلوط، برحسب کسر حجمی هریک از این مواد، تعیین می‌شود:

$$\gamma_{mix} = \gamma_1 \times f_1 + \gamma_2 \times f_2 \quad (۱۸)$$

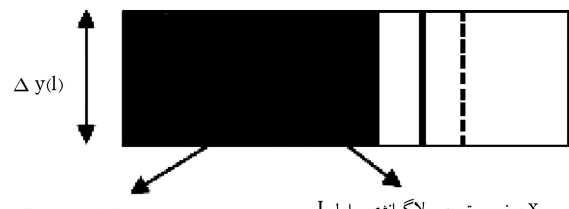
به این ترتیب، کلیه‌ی خواص مربوط به سلول‌های شبکه‌ی محاسباتی، با این مدل مخلوط تعیین خواهد شد.

## نتایج

نتایج ارائه شده در این قسمت، به دو بخش تقسیم می‌شوند. بخش اول به بررسی عملکرد روش VOF مورد استفاده در مطالعه‌ی حاضر، به عنوان یک روش دنبال‌سازی مرز، اختصاص دارد. در این بخش نتایج یکی از رایج‌ترین آزمون‌های مربوط به الگوریتم‌های دنبال‌سازی مرز، با عنوان آزمون انتقال<sup>[۱۹]</sup> بررسی خواهد شد. بخش دوم اختصاص به مقایسه‌ی عملکرد روش PPM، قبل و پس از استفاده از دو الگوریتم دنبال‌سازی مرز و مدل مخلوط، دارد. به این منظور، حل مسئله‌ی لوله‌ی شوک<sup>[۱۵]</sup> که یک مسئله‌ی استاندارد در این زمینه است، برای حالت چندماده‌ی بررسی می‌شود.



الف) شکل اولیه سلول ها



ب) پس از حل لاگرانژی



ج) پس از بازگرداندن مرزهای لاگرانژی به محل اولیه اویلری خود و انجام انتقال خواص از شبکه لاگرانژی به شبکه اویلری (Remap).

شکل ۵. طرح‌واره‌ی از حضور دو سیال در یک سلول مخلوط و دو سلول همسایه‌ی آن.

حجم جدید موجود در سلول  $I$  چنین خواهد بود:

$$VOF_{new}(I) = VOF(I) + \Delta V(I) \quad (۱۵)$$

کسر حجمی جدید سلول  $I$  نیز مطابق رابطه‌ی ۱۶ تعیین می‌شود:

$$f_{new}(I) = \frac{VOF_{new}(I)}{\Delta x(I) \times \Delta y(I)} \quad (۱۶)$$

با این الگو و محاسبه‌ی کسر حجمی جدید هر سلول، موقعیت و شکل نهایی مرز در سلول‌های مخلوط باسازی می‌شود.

## مدل مخلوط

تعیین خواص سلول‌های مخلوط و همچنین خواص هریک از مواد موجود در این سلول‌ها، یکی از مهم‌ترین مواردی است که در تحلیل مسائل چندماده‌ی مطرح می‌شود. برای انجام این هدف، نظریه‌هایی با عنوان مدل مخلوط معرفی می‌شوند. برای این‌گونه سلول‌ها کمیت‌هایی مانند چگالی، سرعت و انرژی داخلی از معادلات پایه‌ی استخاری قابل استخراج‌اند. در مقابل، به‌دلیل تفاوت معادلات حالت مواد داخل سلول‌های مخلوط، تعیین فشار این‌گونه سلول‌ها ممکن نیست. از مدل‌های مخلوط برای محاسبه‌ی فشار این‌گونه سلول‌ها استفاده می‌شود. در تحقیق حاضر، دو مدل مخلوط مورد بررسی قرار گرفته‌اند: مدل مخلوط «هم انرژی» و مدل «کسر حجمی ثابت لاگرانژی».

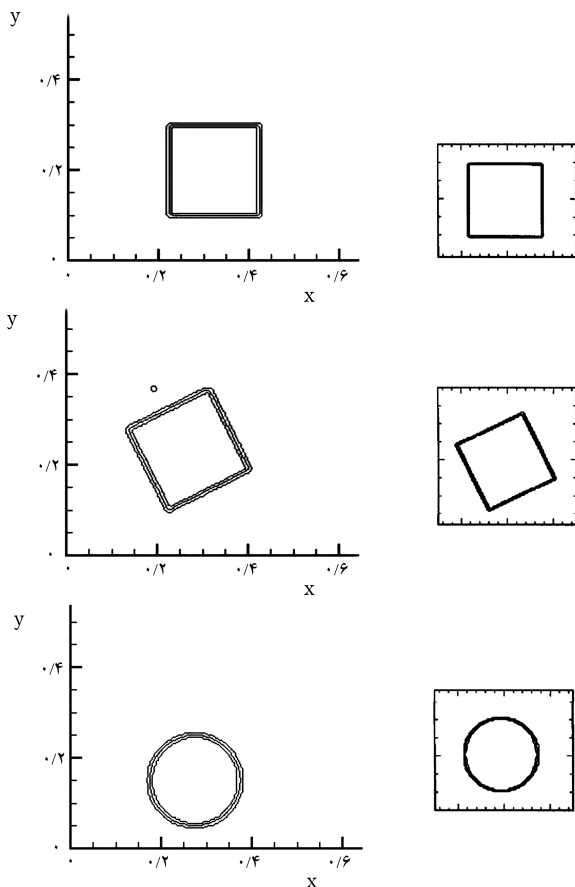
مدل مخلوط «هم فشار - هم انرژی» جزء مدل‌های مخلوط تعادل فشاری محسوب می‌شود. در این نوشتار، این مدل به‌اختصار مدل مخلوط ۱ نامیده شده است. با در نظر گرفتن یک سلول مخلوط شامل دو ماده، در این مدل برای تعیین

## آزمون انتقال

برای آزمون یادشده، نتایج حاصل از الگوریتم تعییب مرز مطالعه‌ی حاضر با نتایج روش SLIC [۷] مقایسه شده است. بهمنظور انجام این مقایسه، لازم است به نقاط اصلی اشتراک و تفاوت الگوریتم حاضر با روش SLIC اشاره شود:

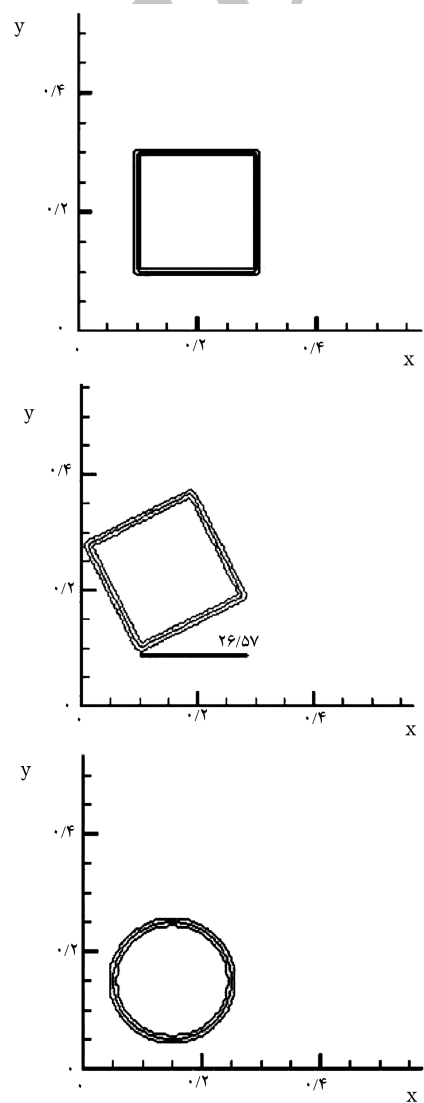
۱. الگوریتم مورد استفاده در تحقیق حاضر و روش مورد مقایسه، هردو از خانواده روش‌های SLIC هستند.
۲. در روش SLIC نوح و وودوارد، تعیین کسر حجمی سلول‌ها در هر بازه زمانی با گستره‌سازی معادله‌ی جابه‌جای حجم (روابط ۱۰ و ۱۱) و تقریب عبارت‌های شار حجمی این معادله انجام می‌گیرد، اما در روش SLIC مورد استفاده در بررسی حاضر، این عمل با استفاده از مفاهیم هندسی و به صورت دقیق انجام می‌پذیرد.
- برای دو میدان سرعت  $(u=1, v=0)$  و  $(u=2, v=0)$ ، حالات‌های نهایی جابه‌جای هریک از سه ناحیه، به ترتیب در ستون سمت چپ شکل‌های ۷ و ۸ نشان داده شده است. نتایج مربوط به روش SLIC نوح و وودوارد نیز در ستون سمت راست هریک از شکل‌های مذکور ارائه شده است.

با توجه به نتایج به دست آمده در شکل‌های ۷ و ۸ و مقایسه‌ی کیفی آن با نتایج روش نوح و وودوارد، می‌توان نتیجه گرفت که روش SLIC مورد استفاده در بررسی حاضر نتایجی را با کیفیت نتایج روش نوح و وودوارد و در برخی از شکل‌ها، با کیفیت بالاتر ارائه می‌دهد. در برخی از نتایج کار حاضر می‌توان شاهد مقداری



شکل ۷. جابه‌جای سه ناحیه در میدان سرعت  $(u=1, v=0)$ ، نتایج روش VOF-SLIC کار حاضر (ستون سمت چپ)، نتایج روش VOF-SLIC [۱۶] (ستون سمت راست).

یکی از رایج‌ترین مسائل جابه‌جای حجمی  $^{16}$  دو بعدی، آزمون انتقال نام دارد که در آن از میدان سرعت تک جهته استفاده می‌شود. در این بخش، سه شکل مختلف برای انجام آزمون تعییب مرز انتقال در نظر گرفته می‌شود. [۱۶] این شکل‌ها عبارت‌اند از: یک ناحیه‌ی مربعی که موازی محورهای مختصات قرار گرفته است؛ یک ناحیه‌ی مربعی که با زاویه‌ی  $26/57$  درجه نسبت به محور افقی قرار گرفته است؛ ناحیه‌ی دایره‌ی (شکل ۶). هریک از این سه ناحیه توسط دو میدان سرعت  $(u=1, v=0)$  و  $(u=2, v=0)$  به طور جداگانه جابه‌جا می‌شوند. در این مسائل، یک شبکه‌ی  $200 \times 200$  مربعی، میدانی به ابعاد  $1 \times 1$  واحد را پوشانده است. گستره‌ی بیرونی هریک از سه شکل اولیه برابر با پهنه‌ای  $40$  سلول شبکه است. عدد کوانت بلایر با  $25^0$  است. و حل مسئله پس از  $500$  چرخه‌ی کامل زمانی به پایان می‌رسد. در تمامی شکل‌های اولیه و نهایی، کانتور کسر حجمی متناسب با مقادیر  $0, 5, 0, 25$  و  $975, 0$  نشان داده شده است.



شکل ۶. سه ناحیه‌ی اولیه مربوط به آزمون انتقال.

جدول ۱. خطای روش SLIC کار حاضر در مقایسه با روش SLIC [۱۴] برای آزمون انتقال.

SLIC روش	SLIC روش کار حاضر	ناحیه‌ی دربرگیرنده سیال	توزیع سرعت
$8,42 \times 10^{-8}$	$1,30 \times 10^{-13}$	مربع (° درجه)	(۱۰)
$1,46 \times 10^{-2}$	$7,15 \times 10^{-3}$	مربع (۲۶,۵۷ درجه)	
$1/2^0 \times 10^{-2}$	$6,33 \times 10^{-3}$	دایره	
$1,32 \times 10^{-1}$	$7,56 \times 10^{-2}$	مربع (° درجه)	(۲۱)
$1,08 \times 10^{-1}$	$2,53 \times 10^{-2}$	مربع (۲۶,۵۷ درجه)	
$9,18 \times 10^{-2}$	$5,75 \times 10^{-2}$	دایره	

را در راستای محورهای مختصات تخمین می‌زند و از روش‌های هندسی برای تعیین تبادل شار حجمی بین سلول‌ها استفاده می‌کند، به طور دقیق می‌تواند مسئله‌ی مورد نظر را حل کند و مقدار خطأ را به حد بسیار ناچیز کاهش دهد.

### مسئله‌ی لوله‌ی شوک چندماده‌ی

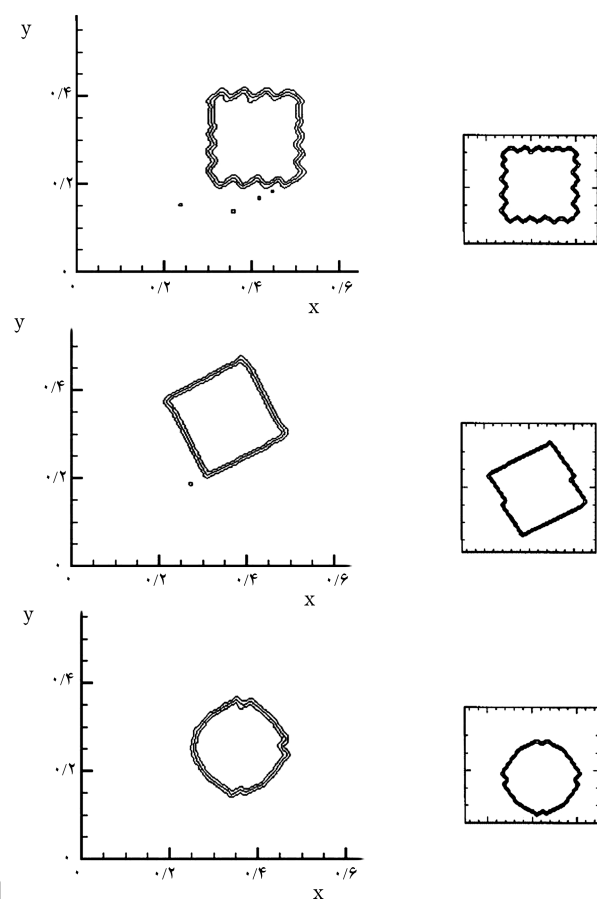
طول لوله‌ی شوک مورد نظر در این مسئله  $1\text{cm}$  بوده و به صورت میدان حملی با شبکه‌ی  $100 \times 100$  سلولی، حاوی یک سیال پرفشار در سمت چپ وبک سیال کم‌فشار در سمت راست خود است.  $\gamma$  ناحیه‌ی پرفشار برابر با  $1/4$  و  $\gamma$  ناحیه‌ی کم‌فشار برابر با  $2/5$  در نظر گرفته می‌شود. مرز اولیه‌ی بین دو سیال، خطی موازی با محور  $y$  واقع در  $x = 0, 3\text{cm}$  در نظر گرفته شده است. زمان نهایی حل،  $t = 0, 2\mu\text{s}$  در نظر گرفته شده است. مشخصات سیال‌های موجود در این میدان در جدول ۲ آورده شده است.

این مسئله در مختصات صفحه‌ی  $x-y$  بروزی می‌شود. نمودار توزیع فشار و چگالی، در امتداد محور  $x$ ، به ترتیب در شکل‌های ۹ (الف) و ۹ (ب) پس از زمان  $t = 0, 2\mu\text{s}$  نشان داده شده‌اند. در این نمودارها، نتایج روش PPM برای حالت عدم استفاده از الگوریتم‌های دنبال‌سازی مرز و مدل مخلوط، و همچنین پس از استفاده از روش VOF و مدل مخلوط «هم‌فشار - هم‌انرژی» (مدل ۱)، در کنار حل دقیق این مسئله مورد مقایسه قرار گرفته‌اند.

با توجه به نتایج این مسئله، مشاهده می‌شود که عدم استفاده از روش دنبال‌سازی مرز VOF به بروز نتایج غیرواقعی می‌انجامد. علم این امر این است که بدون استفاده از الگوریتم مناسب برای دنبال‌سازی مرز، موقعیت و شکل مرز بین دو ماده در هر بازه زمانی مشخص نمی‌شود و درنتیجه، سلول‌های مخلوط موجود در شبکه و نیز خواص آنها را نمی‌توان به درستی پیش‌بینی کرد. در مقابل، مشاهده می‌شود که دنبال‌سازی مرز نتایج فیزیکی را در اختیار قرار می‌دهد. تفاوت دقت روش PPM، قبل و بعد از استفاده از روش VOF، اهمیت دنبال‌سازی مرز را نمایان می‌سازد. در

جدول ۲. مشخصات سیال‌های موجود در لوله‌ی شوک چندماده‌ی.

$\gamma$	سرعت عمودی ( $v$ )	سرعت افقی ( $u$ )	چگالی	ذشار	
$1/4$	$0,0$	$0,0$	$1,0$	$1,0$	سیال سمت چپ
$2/5$	$0,0$	$0,0$	$0,125$	$0,1$	سیال سمت راست



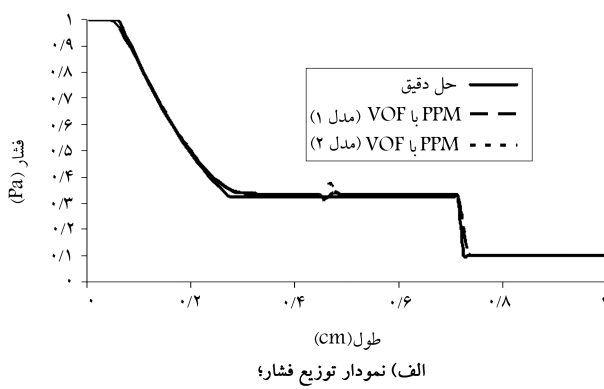
شکل ۸. جایه‌جایی سه ناحیه در میدان سرعت ( $u=2, v=1$ ، نتایج روش VOF-SLIC کار حاضر (ستون سمت چپ)، نتایج روش VOF-SLIC [۱۴] (ستون سمت راست).

خروج ماده از ناحیه‌ی اصلی بود. این پدیده را نوح و وودوارد معرفی، و آن را از نقاط ضعف روش SLIC بر شمرده‌اند.<sup>[۷]</sup> به منظور تأیید تحلیل کیفی فوق، از رابطه‌ی ۹ برای تعیین خطأ و تحلیل کمی نتایج استفاده شده است:<sup>[۱۹]</sup>

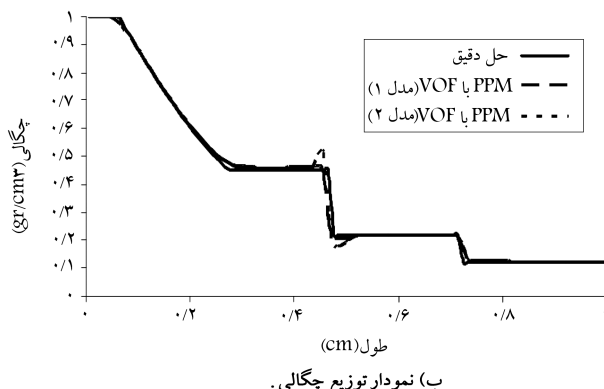
$$E = \frac{\sum_{i,j} |f_{i,j}^n - f_{i,j}^e|}{\sum_{i,j} f_{i,j}^e} \quad (19)$$

که در آن،  $f^n$  کسر حجمی محاسبه شده برای یک سلول پس از  $n$  چرخه‌ی کامل زمانی است.  $f^e$  مقدار دقیق کسر حجمی یک سلول پس از  $n$  چرخه‌ی کامل زمانی، و  $f^e$  مقدار اولیه‌ی کسر حجمی سلول است. مقدار این خطأ برای جایه‌جایی هر سه شکل در دو میدان سرعت مذکور، برای روش SLIC به کار رفته در تحقیق حاضر در مقایسه با روش SLIC نوح و وودوارد، در جدول ۱ ارائه شده است.

با توجه به جدول ۱ مشاهده می‌شود که در تمامی این آزمون‌ها، نتایج روش SLIC در تحقیق حاضر نسبت به روش SLIC نوح و وودوارد از دقت بالاتری برخوردار است. دلیل این امر، به کارگیری مفاهیم هندسی به جای تقریب عبارت شار حجمی، در تعیین موقعیت جدید مرز بین دو سیال است. بهبود نتایج، به خصوص برای جایه‌جایی ناحیه‌ی مربعی اول در توزیع سرعت ( $u=1, v=0$ ) کاملاً مشهود است. در این مسئله، اصلاح ناحیه‌ی مربعی و همچنین میدان سرعت موجود کاملاً در راستای محورهای مختصات است. بنابراین، روش SLIC در تحقیق حاضر که مرز

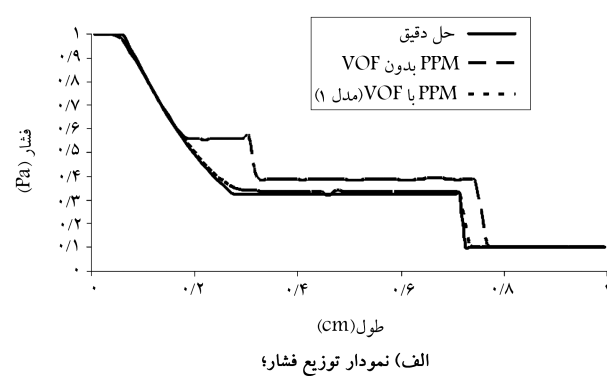


الف) نمودار توزیع فشار؛

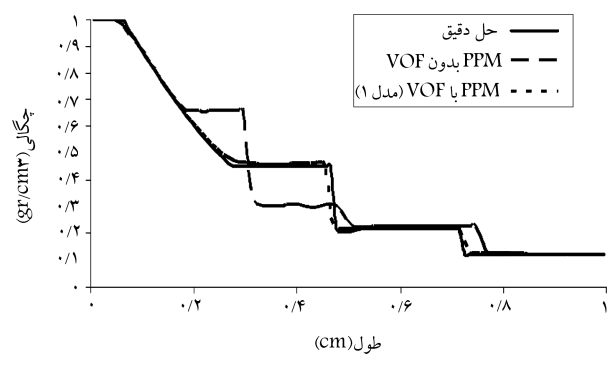


ب) نمودار توزیع چگالی.

شکل ۱۰. مقایسه‌ی نتایج استفاده از دنوع مدل مخلوط در روش VOF برای لوله شوک چندماده‌ی، پس از زمان  $t = 0.2\mu s$  (شبکه  $100 \times 100$ ).  
 $t = 0.2\mu s$  (شبکه  $100 \times 100$ ).



الف) نمودار توزیع فشار؛



ب) نمودار توزیع چگالی.

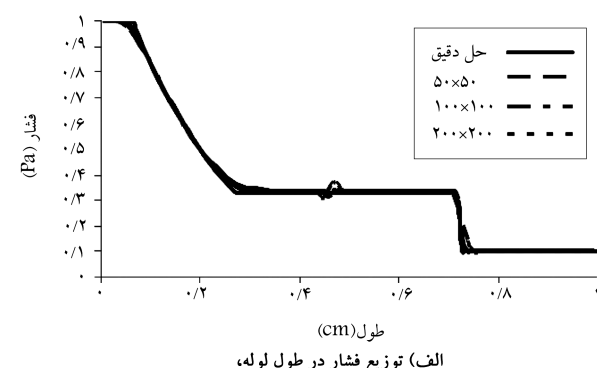
شکل ۹. مقایسه‌ی نتایج روش PPM، قبل و پس از استفاده از روش VOF و مدل مخلوط برای لوله شوک چندماده‌ی، پس از زمان  $t = 0.2\mu s$  (شبکه  $100 \times 100$ ).

ادامه همین مسئله با دو مدل مخلوط یادشده بررسی می‌شود تا کارآیی این دو مدل نیز با یکدیگر مقایسه شود.

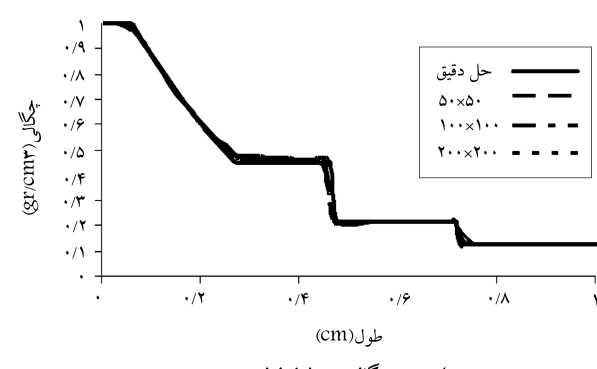
### مقایسه‌ی عملکرد دو مدل مخلوط

در این قسمت به منظور مقایسه عملکرد دو مدل مخلوط به کار برده شده، این دو مدل در حل مسئله‌ی لوله شوک چندماده‌ی قبل مورد مقایسه قرار می‌گیرند. در شکل‌های ۱۰ الف و ۱۰ ب به ترتیب نمودار توزیع فشار و چگالی در طول این لوله شاک، پس از گذشت زمان  $t = 0.2\mu s$  نشان داده شده است. نتایج موجود برای استفاده از روش VOF، برای دو مدل مخلوط «هم فشار - هم انرژی» (مدل ۱) و «کسر حجمی ثابت» (مدل ۲)، در کنار حل دقیق این مسئله مورد مقایسه قرار گرفته‌اند. با توجه به نتایج به دست آمده مشاهده می‌شود که به جز در مجاورت مرز بین دو ماده، دقت استفاده از دو مدل مخلوط، به طور قابل توجهی به هم نزدیک است اما، در عبور از مرز بین دو ماده استفاده از مدل مخلوط «هم فشار - هم انرژی» نسبت به مدل مخلوط «کسر حجمی ثابت»، یکنواختی در فشار و چگالی در مرز دو ماده را بهتر حفظ کرده و سبب افزایش دقت نتایج شده است. دلیل این امر آن است که اصولاً مدل مخلوط «هم فشار - هم انرژی»، از مدل‌های تعادل فشاری است. این مدل‌ها به عملت استفاده از فرض یکسان بودن فشار سیال‌های موجود در دو سلول مخلوط، فیزیک نواحی حاوی مرز بین دو ماده را بهتر پیش‌بینی می‌کنند.<sup>[۱۶]</sup>

در نهایت، استقلال نتایج از شبکه‌ی محاسباتی، با استفاده از شبکه‌های  $50 \times 50$ ،  $100 \times 100$  و  $200 \times 200$  بررسی شده است. شکل ۱۱ توزیع فشار و چگالی لوله‌ی شوک چندماده‌ی مورد نظر را برای مدل مخلوط «هم فشار - هم انرژی» نشان



الف) توزیع فشار در طول لوله،



ب) توزیع چگالی در طول لوله.

شکل ۱۱. استقلال نتایج از شبکه، در لوله شوک چندماده‌ی، برای مدل مخلوط «هم فشار-هم انرژی»، پس از زمان  $t = 0.2\mu s$ .

## نهرست علامت

$\rho$ : چگالی ( $\text{gr}/\text{cm}^3$ )

$E$ : انرژی کل ( $\text{Mbar} \cdot \text{cm}^3/\text{gr}$ )

$e$ : انرژی داخلی ( $\text{Mbar} \cdot \text{cm}^3/\text{gr}$ )

$m$ : جرم ( $\text{gr}$ )

$p$ : فشار ( $\text{Mbar}$ )

$t$ : زمان ( $\text{micro sec.}$ )

$u$ : سرعت ( $\text{cm}/\text{micro sec.}$ )

$\tau$ : حجم ویژه ( $\text{cm}^3/\text{gr}$ )

$\Delta V$ : تبادل حجم ( $\text{cm}^3$ )

$C$ : سرعت صوت ( $\text{cm}/\text{micro sec.}$ )

$C$ : کسر حجمی

$f$ : کسر حجمی

$\gamma$ : نسبت گرمای ویژه

$F$ : شارکسر حجمی

$E$ : خطا

VOF: حجم موجود از سیال

Lag: لاغرانزی

Eul: اویلری

Mix: مخلوط

## نتیجه‌گیری

در مطالعه‌ی حاضر، برای افزایش دقت روش PPM در مواجهه با مسائل چندماده‌ی، روش VOF-SLIC که دارای ویژگی‌های مطلوبی همچون سادگی و حفظ پایستاری جرم است، انتخاب شد. همان‌گونه که از نتایج عددی مربوط به آزمون انتقال مشاهده شد، روش VOF-SLIC در بررسی حاضر به عنوان یک روش دنبال‌سازی مرز، نسبت به روش VOF-SLIC<sup>[14]</sup> دارای دقت بالاتری است. عمل این امر در بهکارگیری مقاومت هندسی در حل معادله‌ی جابه‌جاوی حجم، به جای تقریب عبارت‌های شار حجمی در این معادله است. همچنین، نتایج به دست آمده نشان دادند که استفاده از روش VOF و هر یک از دو مدل مخلوط بهکار رفت، سبب ایجاد قابلیت لازم برای PPM، در بررسی مسائل چندماده‌ی خواهد شد. حضور پرش در خواص مواد، در مجاورت مرزین دو ماده، معیاری برای ارزیابی و مقایسه‌ی کارآبی دو مدل مخلوط است. با توجه به این معیار مشاهده شد که استفاده از مدل «هم فشار - هم انرژی» که جزو مدل‌های تعادل فشاری است، نسبت به مدل «کسر حجمی ثابت»، مرز دو سیال را با دقت بالاتری شبیه‌سازی می‌کند.

## پابلوشت

1. piecewise parabolic method (PPM)
2. volume of fluid (VOF)
3. interface
4. interface tracking
5. front tracking
6. interface capturing
7. level set
8. interface reconstruction
9. piecewise constant
10. piecewise constant-stair stepped
11. piecewise linear
12. dimensional splitting
13. donor-acceptor
14. translation test
15. shock tube
16. volume advection

## منابع

1. Aulisa, E.; Manservisi, S., and Scardovelli, R. "A mixed markers and volume-of-fluid method for the reconstruction and advection of interfaces in two- phase and free-boundry flow", *Jurnal of Comput. Phys.*, **188**, pp. 611-639 (2003).
2. Pishevar, A.R. "An ALE method for compressible multi-fluid flows : Application to underwater explosion", CFD 2003, Vancouver, May 28-30, Cananda (2003).
3. Garimella, R.V.; Dyadechko, V.; Swartz, B.K., and Shashkov, M.J. "Interface reconstruction in multi-fluid , multi-phase flow simulations", 14th International Meshing Roundtable, September 11-14, 2005, San Diego, CA, USA, pp. 19-32, B. W. Hanks (Ed.) Springer (2005).
4. Debar, R. "Fundamentals of KRAKEN code", Technical Report UCIR-760, LLNL (1974).
5. Dyadechko, V., and Shashkov, M. "Moment-of-fluid interface reconstruction", Los Alamos National Laboratory, LA-UR-05-7571.
6. Pilliod, J.E., and Puckett, E.G. "Second-order accurate volume-of-fluid algorithms for tracking material interfaces", *Journal of Comput. Phys.*, **199**, pp. 465-502 (2004).
7. Noh, W.F., and Woodward, P. "SLIC (simple line interface calculation)", Lawrence Livermore laboratory, University of California, Livermore, California 94550.
8. Hirt, C.W., and Nichols, B.D. "Volume of fluid (VOF) method for dynamics of free boundaries", *Journal of Comput. Phys.*, **39**, pp. 201-215 (1981).

9. Rider, W.J., and Kothe, D.B. "Reconstructing volume tracking", *Journal of Comput. Phys.*, **141**, pp. 112-152 (1998).
10. Chorin, A.J. "Flame advection and propagation algorithms", *J. Comput. Phys.*, **35**, pp. 1-11 (1980).
11. Ghoniem, A.F.; Chorin, A.J., and Oppenheim, A.K. "Numerical modeling of turbulent flow in a combustion tunnel", *Phil. Trans. R. Soc. Lond.*, **304**, pp. 303-325 (1982).
12. Sethian, J.A. "Turbulent combustion in open and closed vessels", *J. Comput. Phys.*, **54**, pp. 425-456 (1984).
13. Colella, P.; Henderson, L.F., and Pucket, E.G., *A Numerical Study of Shock Wave Refraction at a Gas Interface*, Proceedings of the AIAA 9<sup>th</sup> Computational Fluid Dynamics Conference, Buffalo, New York, pp. 426-439, AIAA-89-1973 (1989).
14. Colella, P., and Woodward, P.R. "The piecewise parabolic method (PPM) for gas-dynamical simulations", *Journal of Comput. Phys.*, **54**, pp. 174-201 (1984).
15. Dukowicz, J.K., and Baumgardner, J.R. "Incremental remapping as a transport/advection algorithm", *Journal of Comput. Phys.*, **160**, pp. 318-335 (2000).
16. Despres, B., and Logoutiere, F. "Numerical resolution of two-component compressible fluid model with interfaces and mixing zones", Preprint R04008 of the Laboratoire Jacques-Louis Lions.
17. Shashkov, M. "Closure models for multimaterial cells in arbitrary lagrangian-eulerian hydrocodes", *International Journal for Numerical Methods in Fluids*, DOI: 10.1002/fld.1574 (2007).
18. Benson, D.J. "A mixture theory for contact in multi-material eulerian formulations", *Computer Methods in Applied Mechanics and Engineering*, **140**, pp. 59-86 (1997).
19. Rudman, M. "Volume-tracking methods for interfacial flow calculations", *International Journal for Numerical Methods in Fluids*, **24**, pp. 671-691 (1997).

Archive of SID